

модуляционного процесса и соответствующая проекция фазовой траектории на плоскость (x_3, x_4) . Как показывает численный эксперимент, возникновение хаотических самопульсаций в системе когерентных экситонов и фотонов зависит от величины внешней накачки в области неустойчивости системы. Поверхность в фазовом пространстве, к которой стягиваются траектории, меняется с изменением внешней накачки, а хаотизация в си-

б

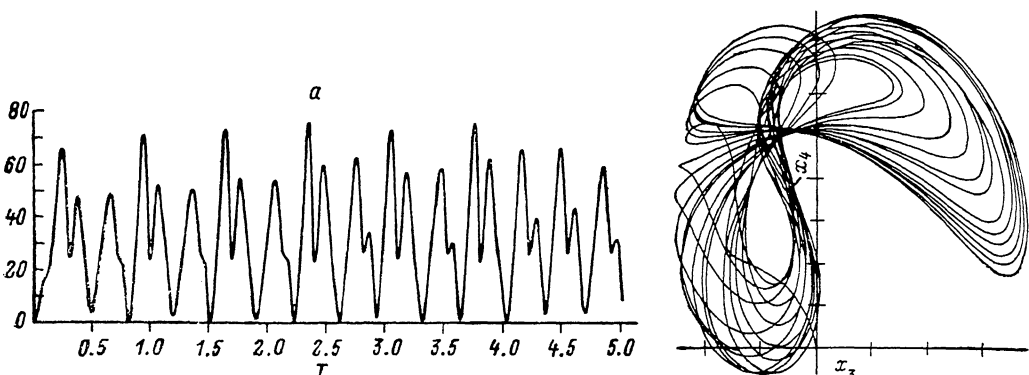


Рис. 2. Возникновение оптической турбулентности (а) и фазовый портрет стохастического аттрактора на плоскость с координатными осями (x_3, x_4) (б) при $\sigma=10$, $\alpha=22.9$, $\delta=46$, $\delta_1=19$, $\delta_2=98$, $P=135$.

стеме происходит через бифуркации удвоения периода. Численный эксперимент также показал, что в системе возможны прямая и обратная бифуркации Хопфа.

В заключение отметим, что возникающие в системе когерентных экситонов и фотонов самопульсации и соответствующие аттракторы являются более сложными, чем аналогичные автоколебания в модели двухуровневых атомов.

Л и т е р а т у р а

- [1] Ikeda K., Daido H., Akimoto O. // Phys. Rev. Lett. 1980. V. 45. N 9. P. 709—712.
- [2] Ораевский А. Н. // Квант. электр. 1981. Т. 8. С. 192—212.
- [3] Firth W. J. // Opt. Comm. 1981. V. 39. P. 343.
- [4] Горшков В. Г., Даниленко Ю. К., Лебедева Т. П., Несторов Д. А. // Письма в ЖЭТФ. 1987. Т. 45. № 4. С. 196—199.
- [5] Келдыш Л. В. // Проблемы теоретической физики. М., 1972. С. 433—444.
- [6] Stein-Ross M. L., Gardiner C. W. // Phys. Rev. A. 1983. V. 27. N 1. P. 310—325.

Институт прикладной физики
АН МССР
Кишинев

Поступило в Редакцию
29 июня 1988 г.

УДК 537.635

Физика твердого тела, том 31, в. 3, 1989
Solid State Physics, vol. 31, № 3, 1989

ЭПР И РЧДН ИОНОВ Er^{3+} В МОНОКРИСТАЛЛАХ α - $LiIO_3$

Д. Л. Джапаридзе, С. В. Алчянгян, Д. М. Дараселия, Т. И. Санадзе

Настоящей работой мы начинаем исследования электронного paramagnитного резонанса редкоземельных ионов (РЗ) в монокристаллах α - $LiIO_3$. Подобные исследования проводятся впервые.

Уже первые измерения показали, что стабилизация РЗ ионов в этой решетке характеризуется рядом существенных особенностей по сравнению

с ионами группы железа, которые к настоящему времени в $\alpha\text{-LiIO}_3$ изучены достаточно подробно [1-6]. Было обнаружено, что ионы Ce, Nd, Gd, Dy, Yb либо не дают спектров ЭПР, либо их интенсивность чрезвычайно мала. При этом пламенно-активационный анализ подтверждает присутствие в кристаллах упомянутых редких земель в концентрации, на один-четыре порядка превышающей ту, которая вытекает из интенсивности спектров ЭПР. Единственное обнаруженное пока исключение составляют ионы Er^{3+} , которые дают интенсивный спектр узких линий, коррелирующий с концентрацией ионов в кристалле (а также в шихте).

Другой характерной особенностью РЗ в $\alpha\text{-LiIO}_3$ является склонность их образовывать множество различных центров. Er^{3+} образует по крайней мере 5 различных центров, часть которых исчезает при отжиге. Спектр ЭПР Gd^{3+} представляет суперпозицию узких линий аксиального спектра

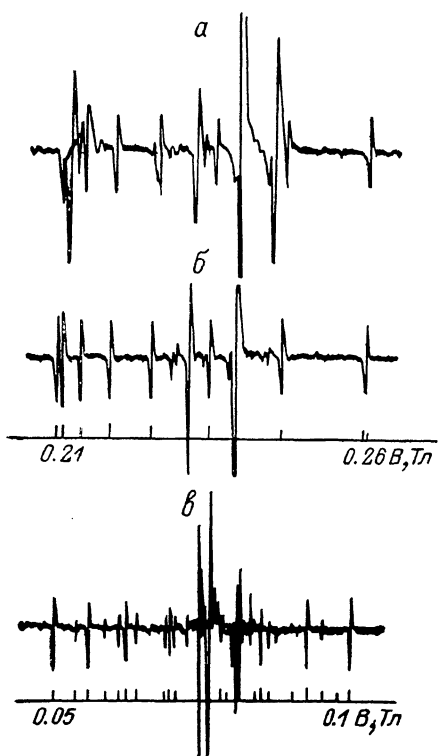


Рис. 1. Спектры ЭПР Er^{3+} в $\alpha\text{-LiIO}_3$.

Штрихами показан спектр, рассчитанный по приведенным в работе параметрам; короткие штрихи представляют «запрещенные» сверхтонкие переходы $\Delta m = \pm 2$. Образец 10⁻² вес. %. а — ориентация $\mathbf{B} \parallel \mathbf{c}$; б — после 2 ч отжига в атмосфере при $T=180^\circ\text{C}$, ориентация $\mathbf{B} \parallel \mathbf{c}$; в — $\mathbf{B} \perp \mathbf{c}$.

и широкой линии, напоминающей спектр порошка, с центром $g \approx 2$ и шириной, примерно совпадающей с протяженностью аксиального спектра.

Ниже будет коротко описан аксиальный центр Er^{3+} . Измерения проводились диапазоне в 3 см при температурах жидкого гелия. Концентрация Er^{3+} в образцах составляла от 10^{-4} до 10^{-2} вес. % (в шихте). Кристаллическая структура $\alpha\text{-LiIO}_3$ описана в [6].

Спектры ЭПР Er^{3+} в ориентациях $\mathbf{B} \parallel \mathbf{c}$ и $\mathbf{B} \perp \mathbf{c}$ приведены на рис. 1 и описываются аксиальным спин-гамильтонианом

$$\mathcal{H}_s = g_{\parallel}^3 H_z S_z + g_{\parallel}^3 (H_x S_x + H_y S_y) + A_{\parallel} S_z I_s + A_{\perp} (S_x I_x + S_y I_y) + P [I_z^2 - I_z(I+1)],$$

где $S=1/2$, $I=7/2$ (для 23 % изотопа Er^{167}). В обоих ориентациях спектр хорошо описывается параметрами: $g_{\parallel}=2.772 \pm 0.003$, $g_{\perp}=8.556 \pm 0.003$, $A_{\parallel}=281 \pm 1$ МГц, $A_{\perp}=892 \pm 4$ МГц, $P=71 \pm 4$ МГц.

Для определения модели парамагнитного центра методом радиочастотного дискретного насыщения (РЧДН) [7] были исследованы сверхтонкие взаимодействия Er^{3+} с окружающими ядрами Li^{7} . Когда угол между магнитным полем и гексагональной осью с кристалла превышал 20° , в линиях ЭПР перестала выжигаться узкая «дыра» и исчезал спектр

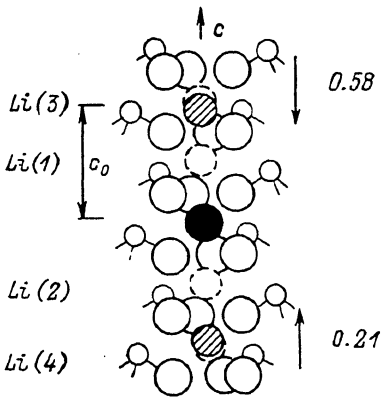


Рис. 2. Модель парамагнитного центра Er^{3+} .

Справа приведены смещения ионов лития (в Å).

дискретного насыщения. Причина этого явления, видимо, в резком уменьшении времени T_2 при повороте кристалла, которое мы обнаружили, причем этот эффект не зависит от концентрации в пределах 10^{-4} — 10^{-2} вес.%. По этой причине нам не удалось исследовать спектр РЧДН при $B \perp c$ и определить все компоненты тензоров ССТВ. В ориентации $B \parallel c$ линии РЧДН ядер лития симметричны относительно зеемановской частоты свободных ядер Li и спектр РЧДН совпадает с рассчитанным в дипольном приближении (для ближайших ядер на оси c — с учетом смещения в сторону вакансий; рис. 2), как и в случае ионов группы железа [5, 6]. Этот факт, а также детальные измерения спектров РЧДН ионов Gd^{3+} в $\alpha\text{-LiIO}_3$ позволяют сделать вывод, что по крайней мере аксиальные центры трехвалентных РЗ ионов полностью аналогичны трехвалентным ионам группы железа.

Модель центра Er^{3+} приведена на рис. 2. Интересно отметить чрезвычайно малую ширину линий ЭПР Er^{3+} в $\alpha\text{-LiIO}_3$: ширина на полувысоте линий четного изотопа составляет всего 0.58 мГл при $B \parallel c$ и 0.27 мГл при $B \perp c$ (для концентрации 10^{-2} вес.%).

Низкосимметричные центры Er^{3+} , которые можно видеть на спектрах рис. 1, детально не изучались, однако их спектры РЧДН свидетельствуют, что эрбий и здесь замещает ионы лития. Понижение симметрии и изменение положений линий ЭПР связаны, по-видимому, с искажением координационного кислородного октаэдра. Позднее будут опубликованы более подробные исследования.

Л и т е р а т у р а

- [1] Braüer A., Karthe W. // Phys. St. Sol. (b). 1973. V. 59. P. K131—K133.
- [2] Karthe W., Kühmstedt R. // Phys. St. Sol. (b). 1974. V. 63. P. K5—K6.
- [3] Karthe W. // Acta Phys. Polonica. 1975. V. 47. N 4. P. 553—555.
- [4] Мирзаханян А. А., Петросян А. К., Малоян С. Г. // Изв. АН АрмССР, физика. 1983. Т. 18. С. 315—317.
- [5] Дараселия Д. М., Броер А. // ФТТ. 1977. Т. 19. № 8. С. 1250—1257.
- [6] Daraselia D. M., Braüer A. // Phys. St. Sol.(b), 1982. V. 109. P. 223—231.
- [7] Берулава Б. Г., Мирланашвили Р. И., Дараселия Д. М., Санадзе Т. Г. // Изв. АН СССР, сер. физ. 1983. Т. 47. № 12. С. 2314—2318.

Тбилисский
государственный университет
Тбилиси

Поступило в Редакцию
26 июля 1988 г.

УДК 537.226.82 : 621.319.2

Физика твердого тела, том 31, в. 3, 1989

Solid State Physics, vol. 31, № 3, 1989

О ПРИРОДЕ ПИРОЭЛЕКТРИЧЕСТВА В ПОЛИВИНИЛИДЕНФТОРИДЕ

C. H. Федосов, A. E. Сергеева

Несмотря на большое число работ, посвященных пироэлектричеству в поливинилиденфториде (ПВДФ), природа этого явления до конца не выяснена. К настоящему времени сформировались две точки зрения, объясняющие пироактивность ПВДФ либо обратимыми изменениями внутренней поляризации, обусловленной сегнетоэлектрическими свойствами кристаллической фазы полимера [1, 2], либо неравномерным по толщине образца распределением объемного заряда [3, 4].

В данном сообщении на основе экспериментальных результатов по температурной зависимости пирокоэффициента пленок ПВДФ, электризованных в коронном разряде, а также по кинетике пироактивности в процессе снятия ВАХ, термостимулированной поляризации и деполяри-